

به نام خدای خوبیم



دانشکده فیزیک

گرایش نانوفیزیک

عنوان:

بررسی روش‌های صنعتی سنتز نانوساختارهای اکسید فلزی

مرضیه گلی

استاد راهنما:

دکتر حمید هراتی زاده

پایان نامه ارشد جهت اخذ درجه کارشناسی ارشد

۱۳۹۲ بهمن

ب

پیوست شماره ۲

دانشگاه صنعتی شاهرود

دانشکده : فیزیک

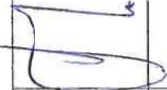
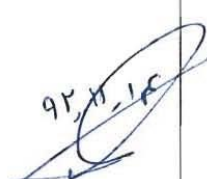
گروه : فیزیک

پایان نامه کارشناسی ارشد خانم مرضیه گلی

تحت عنوان: بررسی روش‌های صنعتی سنتز نانوساختارهای اکسید فلزی

در تاریخ ۱۳۹۲/۱۱/۱۴ توسط کمیته تخصصی زیر جهت اخذ مدرک کارشناسی ارشد مورد ارزیابی و با درجه عالی مورد پذیرش قرار گرفت.

امضاء	اساتید مشاور	امضاء	اساتید راهنمای
	نام و نام خانوادگی : 		نام و نام خانوادگی : دکتر حمید هراتی زاده
	نام و نام خانوادگی :		نام و نام خانوادگی :

امضاء	نماينده تحصيلات تكميلي	امضاء	اساتيد داور
			نام و نام خانوادگی : دکتر محمد باقر رحمانی
			نام و نام خانوادگی : دکتر سید ایمان حسینی
	نام و نام خانوادگی : دکتر مجتبی هاشم زاده		نام و نام خانوادگی :
			نام و نام خانوادگی :

تعهد نامه

اینجانب مرضیه گلی دانشجوی دوره کارشناسی ارشد رشته نانوفیزیک دانشکده فیزیک
دانشگاه صنعتی شاهرود نویسنده پایان نامه "بررسی روش‌های صنعتی سنتز نانوساختارهای
اکسید فلزی" تحت راهنمایی دکتر حمید هراتی زاده متعهد می‌شوم.

- تحقیقات در این پایان نامه توسط اینجانب انجام شده است و از صحت و اصالت برخوردار است.
- در استفاده از نتایج پژوهش‌های محققان دیگر به مرجع مورد استفاده استناد شده است.
- مطالب مندرج در پایان نامه تاکنون توسط خود یا فرد دیگری برای دریافت هیچ نوع مدرک یا امتیازی در هیچ جا ارائه نشده است.
- کلیه حقوق معنوی این اثر متعلق به دانشگاه صنعتی شاهرود می‌باشد و مقالات مستخرج با نام «دانشگاه صنعتی شاهرود» و یا «Shahrood University of Technology» به چاپ خواهد رسید.
- حقوق معنوی تمام افرادی که در به دست آمدن نتایج اصلی پایان نامه تأثیرگذار بوده اند در مقالات مستخرج از پایان نامه رعایت می‌گردد.
- در کلیه مراحل انجام این پایان نامه، در مواردی که از موجود زنده (یا بافت‌های آنها) استفاده شده است ضوابط و اصول اخلاقی رعایت شده است.
- در کلیه مراحل انجام این پایان نامه، در مواردی که به حوزه اطلاعات شخصی افراد دسترسی یافته یا استفاده شده است اصل رازداری، ضوابط و اصول اخلاق انسانی رعایت شده است

تاریخ

امضای دانشجو

مالکیت نتایج و حق نشر

- کلیه حقوق معنوی این اثر و محصولات آن (مقالات مستخرج، کتاب، برنامه‌های رایانه‌ای، نرم افزارها و تجهیزات ساخته شده است) متعلق به دانشگاه صنعتی شاهرود می‌باشد. این مطلب باید به نحو مقتضی در تولیدات علمی مربوطه

برای دستهای زحمتکش پدرم

و

چشمان مهربان مادرم

ث

تشکر و قدردانی

حمد و سپاس و درود پروردگار یکتا را، خدایی را که لطف بی‌کرانش همواره شامل حال بندگانش و از جمله بنده حقیر بوده است. بی‌شک انجام این تحقیق بدون همراهی بزرگوارانی که همواره در طی مسیر مرا یاری نمودند، میسر نبود. در این راه خود را مديون استاد عزیز و گرانقدرم جناب آقای دکتر حمید هراتی زاده می‌دانم که علم و اخلاق را به من آموخت و بسیار خوشحالم که افتخار شاگردی ایشان را در این مرحله از زندگی داشته‌ام. از همکاری و مساعدت کارمندان محترم دانشکده فیزیک (خصوصاً سرکار خانم عرب، آقایان صفری و مهندس عسگری) و جناب آقای مهندس کبیریان در آزمایشگاه جذب اتمی و بهویژه سرکار خانم نوروزی در مدیریت خوابگاه خواهران تشکر و قدردانی می‌نمایم.

قدردانی می‌کنم از پدر و مادر گرانقدرم که سایه پر مهر و دعای خیرشان همواره آرامش‌بخش لحظات نگرانی و سخت زندگی من بوده‌است. از خانواده بزرگوارم به ویژه برادران عزیزم عباس و مجتبی و خواهران مهریانم زینب، زهرا، فاطمه، طیبه، عاطفه و خانواده شان، به خاطر تمامی زحماتی که متقبل شدند تشکر می‌کنم. از دوستان خوبم خانم‌ها محمدیان، حسین نیا، جلیلی ایزدی، نجفی، حسینیان، مشکوه و آقایان قزلو، ملکان، محمدیان، قرشی، مددی وظفری و به علاوه از دوست عزیزم اعظم اشرفیان به خاطر تشویق و حمایتش که حضور گرمش را در کنارم نمونه بارز لطف خداوندگار می‌دانم، کمال تشکر و قدردانی را دارم.

مرضیه گلی

۱۳۹۲ بهمن

چکیده

از مهم‌ترین و پرکاربردترین نانو مواد، نانوساختارهای اکسید فلزی می‌باشد. این مواد با توجه به کاربردهای وسیعی که در بسیاری از صنایع دارند توجه زیادی را به خود جلب کرده‌اند. علاوه بر این نانوساختارهای اکسید فلزی کاربردهای ارزشمندی در صنایع لاستیک، پزشکی، آرایشی و بهداشتی و... دارند. به‌دلیل کاربردهای زیادی که این نانوساختارها در صنعت دارند بایستی روش‌های مقرر بصرفه و ارزان قیمت برای تولید این نانوساختارها توسعه داده شود. در این میان روش‌های متعددی جهت سنتز نانوساختارهای اکسید فلزی پیشنهاد شده است که عمدتاً روش‌هایی پرهزینه و نیازمند به مواد اولیه گران قیمت و تجهیزات پیچیده می‌باشند بنابراین تعداد خیلی کمی از آنها کاربردهای تجاری دارند بنابراین از دیدگاه اقتصادی جهت تولید نانوساختارها مناسب نیستند.

هدف این پایان نامه ارائه روشی نیمه صنعتی و نسبتاً ارزان قیمت با امکانات موجود که عمدتاً در آزمایشگاه نانو دانشگاه صنعتی شاهرود طراحی و ساخته شده است، برای تولید نانوساختارهای اکسید فلزی می‌باشد.

نانوساختارهای اکسید مس به دو روش اکسیداسیون حرارتی و تخلیه الکتریکی در محیط مایع و نانوساختارهای اکسید روی به روش تخلیه الکتریکی در محیط مایع انجام شده است که روش‌هایی ساده و مقرر بصرفه می‌باشد که نیازی به تجهیزات آزمایشگاهی پیچیده ندارد و مواد اولیه ارزان قیمت در این روش‌ها استفاده شده است. از نکات بارز این روش‌ها در عین سادگی و ارزان قیمت بودن، وجود پارامتر‌ها و عوامل مؤثر زیادی بر سیستم سنتز می‌باشد.

در این میان می‌توان در روش اکسیداسیون حرارتی پارامترهایی همچون دما و زمان اکسیداسیون را نام برد و در روش تخلیه الکتریکی در محیط مایع می‌توان پارامترهای فاصله‌ی بین الکترودها، ولتاژ، جریان AC و DC ، شرایط محیطی سنتز، قطر الکترودها و نحوه قرار گرفتن الکترودها را نام برد که

هر یک از آن‌ها را در حد امکانات موجود مورد مطالعه قرار گرفته است. تغییر سیستماتیک هر یک از این عوامل، سبب ایجاد نانوساختارهای اکسید فلزی با ساختارهای مختلف و نرخ تولید متفاوت گردید که در بخش‌هایی از این پایان نامه چگونگی تأثیر هر یک از این عوامل بر خواص ساختاری و میزان تولید ارائه شده است.

جهت مشخصه یابی نانوساختارها از آنالیزهای مختلفی شامل پراش اشعه ایکس، پراکندگی دینامیکی نور، میکروسکوپ الکترونی روبشی و فلوئورسانس اشعه ایکس استفاده شده است.

کلمات کلیدی : نانوساختارهای اکسید فلزی، اکسیداسیون حرارتی، تخلیه الکتریکی، تولید انبوه

لیست مقالات مستخرج از پایان نامه

1. **M.Goli** , H.Haratizadeh “ Investigation of Industrial Methods for Synthesis of Copper Oxide Nanostructures , International Porous and Powder Materials Symposium and Exhibition (PPM 2013) , Izmir-Turkey between September 3-6, 2013,Oral Presentation
2. **M.Goli** , H.Haratizadeh “Copper Oxide Nanostructures Synthesized by Using of Arc Discharge Method” 16th Iranian Physical Chemistry Conference University Of Mazandaran, Babolsar,Iran, 29-31 Oct.2013, Poster Presentation
3. **M.Goli** , H.Haratizadeh “Effect of Oxidation Time on The Formation of Copper Oxide Nanostructures” 16th Iranian Physical Chemistry Conference University Of Mazandaran, Babolsar,Iran, 29-31 Oct.2013, Poster Presentation
4. **M.Goli** , H.Haratizadeh “Investigation of Industrial Methods for Synthesis of Copper Oxide Nanostructures , Submitted to Journal of Nanomaterials,

فهرست مطالب

عنوان

صفحه

۱- فصل اول : آشنایی با نانوساختارهای اکسید فلزی و کاربردهای صنعتی آن.... ۱

۱-۱- مقدمه ای بر نانوساختارها ۲

۱-۲- نانوساختار های اکسید فلزی و کاربردهای آن ۳

• کاتالیست ۶

• جاذب ۶

• حسگرهای گازی ۷

۱-۳- اهمیت تولید انبوه نانوساختارهای اکسید فلزی ۷

۲- فصل دوم روشهای سنتز نانوساختارهای اکسید فلزی

۲-۱- سنتز نانوساختارهای اکسید فلزی ۱۰

۲-۲- روش اکسیداسیون حرارتی ۱۱

۲-۲-۱- مکانیسم اکسیداسیون ۱۲

۲-۲-۲- ارزشی آزاد گیبس ۱۷

۲-۲-۳- نمودار الینگام ۲۰

۲-۲-۴- مکانیسم رشد نانو سیمه های اکسید فلزی ۲۱

۲-۳- روش تخلیه قوس الکتریکی ۲۷

۲-۳-۱- تقسیم بندی تخلیه الکتریکی ۲۹

۳۲ ۲-۳-۲ مشخصات ولتاژ - جریان در تخلیه الکتریکی

۳۶ ۲-۳-۲ پلاسمای قوس الکتریکی

۳۷ ۲-۳-۴ ساز و کار فرآیند تخلیه قوس الکتریکی

۳ فصل سوم مروری بر مقالات و پژوهش‌های انجام شده

۴۱ ۳-۱ تحقیقات صورت گرفته در زمینه سنتز نانو ساختارهای اکسید مس

۴۲ ۳-۱-۱ سنتز و مشخصه یابی نانوگل های اکسید مس به روش هیدروترمال داخلی

۴۲ ۳-۱-۲ سنتز ، مکانیزم رشد و خواص حسگری نانو سیم های CuO در مقیاس های مایکروویو

۴۳ ۳-۱-۳ بزرگ سنتز نانو سیم های اکسید مس به روش اکسیداسیون حرارتی

۴۴ ۳-۱-۴ مشخصه یابی مقطع عرضی نانو سیم های اکسید مس رشد یافته به وسیله روش

۴۶ ۳-۱-۵ اکسیداسیون حرارتی

۴۸ ۳-۲ تحقیقات صورت گرفته در زمینه سنتز نانو ساختارهای اکسید فلزی به روش تخلیه

۴۹ ۳-۲-۱ نانو ساختارهای کربنی

۴۹ ۳-۲-۲ سنتز نانو ساختارهای اکسید روی به روش تخلیه قوس الکتریکی در آب

۵۰ ۳-۲-۳ بررسی سنتز نانوذرات طلا و نقره به روش تخلیه قوس الکتریکی در آب قطر ...

۴ فصل چهارم بررسی روش های صنعتی سنتز نانو ساختارهای CuO و مقایسه

۵۳ نرخ تولید

۴-۱-خواص و کاربردهای صنعتی اکسید مس	۵۴
۴-۲-اکسیداسیون حرارتی	۵۵
۴-۳-۱-کوره الکتریکی ۱۱۰ درجه	۵۶
۴-۳-۲-نتایج سنتز به روش اکسیداسیون حرارتی	۵۶
۴-۳-۳-۱-بررسی اثر دمای اکسیداسیون	۵۸
۴-۳-۲-بررسی اثر زمان اکسیداسیون	۶۴
۴-۴-تخلیه الکتریکی در مایعات	۶۹
۴-۵-۱-ساخت راکتور	۷۰
۴-۵-۲-نتایج سنتز به روش تخلیه الکتریکی در مایعات	۷۱
۴-۵-۳-۱-تأثیر جریان AC و DC بر فرآیند سنتز	۷۲
۴-۵-۳-۲-بررسی اثر ولتاژ	۷۵
۴-۵-۳-۳-بررسی اثر فاصله بین الکترودها	۷۶
۴-۵-۴-بررسی شرایط محیطی در فرآیند سنتز CuO	۸۰
۴-۵-۵-۱-بررسی اثر قطر الکترودها در میزان تولید نانوساختارهای CuO	۸۳
۴-۵-۵-۲-عنحوه قرار گرفتن الکترودها در میزان تولید نانوساختارهای CuO	۸۵
۴-۶-۱-سنتز نانوساختارهای اکسید مس به روش تخلیه قوس الکتریکی	۸۸
۴-۷-۱-نتایج حاصل از طیف سنجی XRF	۸۹
۴-۸-۱-نتایج حاصل از آنالیز اندازه ذرات (Particle Size Analyzer)	۹۲
۴-۹-۱-خلاصه فصل	۹۲

فصل پنجم بررسی روش‌های صنعتی سنتز نانوساختارهای ZnO و مقایسه نرخ

۹۵	تولید.
۹۶	۱- خواص و کاربردهای صنعتی اکسید روی
۹۸	۲- نتایج سنتز نانوساختارهای اکسید روی به روش تخلیه قوس الکتریکی در مایعات.
۹۹	۳- ۱- بررسی اثر فاصله‌ی بین الکترودها
۱۰۳	۳- ۲- بررسی اثر ولتاژ
۱۰۴	۳- ۳- بررسی شرایط محیطی در فرآیند سنتز ZnO
۱۰۷	۳- ۴- بررسی نحوه قرارگرفتن الکترودها در میزان تولید نانوساختارهای ZnO
۱۰۹	۳- ۵- سنتز نانوساختارهای اکسید روی به روش تخلیه قوس الکتریکی
۱۱۰	۴- نتایج حاصل از طیف سنجی XRF
۱۱۱	۵- نتایج حاصل از آنالیز پراکندگی نور (DLS)
۱۱۲	۶- خلاصه فصل
۱۱۳	۷- بحث و نتیجه گیری
۱۱۴	۸- چشم انداز آینده
۱۱۴	منابع

فهرست شکل‌ها

صفحه	شکل
۱۲	شکل ۱-۲: تشکیل لایه اکسیدی بر روی فلز [۱۱]
۱۴	شکل ۲-۲: تصویر شماتیک فصل مشترک فلز-اکسید و اکسید-اکسیژن [۱۲]
۱۶	شکل ۳-۲: نمودار شماتیک از ۴ مکانیسم ممکن جهت انتقال یون‌ها در واکنش اکسیداسیون(a) انتقال یون‌های اکسیژن از طریق مکانیسم درون شبکه اکسیژن (b) انتقال یون‌های اکسیژن بوسیله مکانیسم تهی جای اکسیژن (c) انتقال یون‌های فلزی توسط مکانیسم درون شبکه فلز (d) انتقال یون‌های فلز توسط مکانیسم تهی جای فلز [۱۲]
۲۱	شکل ۴-۲: انطباق ΔG^0 بر حسب دمای اکسیداسیون و فشار اکسیژن در رابطه‌ی [۱۲] $\Delta G^0 = RT \ln P O_2$
۲۱	شکل ۵-۲: نمودار الینگام برای برخی فلزات [۱۲]
۲۴	شکل ۶-۲: مدل جوانه زنی اکسید فلزی (a) غیرواکنشی (b) واکنش‌پذیر (c) نمودار ΔG_N وابسته به r [۱۲-۱۳]
۲۶	شکل ۷-۲: تصویر شماتیک ۴ مرحله مکانیسم رشد نانوسيمهای اکسید فلزی [۱۲]
۲۹	شکل ۸-۲: تقسیم بندی تخلیه الکتریکی
۳۰	شکل ۹-۲: نواحی مختلف تخلیه الکتریکی
۳۳	شکل ۱۰-۲: منحنی مشخصه جریان-ولتاژ در تخلیه الکتریکی
۳۶	شکل ۱۱-۲: تصویر نقطه کاتدی و میکرو ذرات به وجود آمده ناشی از فشار ستون پلاسمای
۳۹	شکل ۱۲-۲: تشکیل پلاسما و جوانه زنی اولیه نانوذرات
۴۰	شکل ۱۳-۲: نمای کلی مراحل چگالش و رشد نانوساختارها در محیط آب [۱۸]
۴۳	شکل ۱-۳: تصویر SEM نانوگل‌های خاردار اکسید مس [۱۹]

شکل ۲-۳: نانوسيم‌های رشد یافته در زمان ۷۲ ساعت در دماهای (a) ۴۰۰ °C، (b) ۴۳۰ °C، (c) ۴۳۰ °C و (d) ۴۵۰ °C

شکل ۳-۳: تصاویر SEM در زمان‌های ۰/۵، ۲، ۴ و ۸ ساعت در دماهای ۴۰۰ °C

شکل ۴-۳: تصاویر SEM در دماهای متفاوت (a) ۵۰۰ °C، (b) ۳۰۰ °C، (c) ۳۰۰ °C و (d) ۴۷۰ °C

شکل ۴-۴: طیف XRD ورقه‌های مس و ورقه‌های مس در دماهای ۳۰۰ °C و ۴۰۰ °C

شکل ۴-۵: تصاویر SEM نانوسيم‌ها در دماهای ۳۰۰ °C، ۴۰۰ °C، ۴۳۰ °C و ۴۵۰ °C

شکل ۴-۶: آنالیز DLS نمونه‌های سنتز شده در جریان‌های ۱۰، ۱۵ و ۲۴ آمپر

شکل ۴-۷: تصاویر SEM نانوذرات (A) نقره، (B) طلا

شکل ۴-۸: کوره الکتریکی ساخت شرکت نانوشات

شکل ۴-۹: فویل مس بعد از اکسیداسیون

شکل ۴-۱۰: طیف XRD مربوط به نمونه‌های k_1 : ۲۰۰ °C، k_2 : ۴۰۰ °C و k_3 : ۵۰۰ °C

شکل ۴-۱۱: طیف XRD مربوط به نمونه‌های k_4 : ۶۰۰ °C و k_5 : ۷۰۰ °C

شکل ۴-۱۲: طیف XRD مربوط به نمونه k_6 : ۸۰۰ °C

شکل ۴-۱۳: تصاویر SEM نمونه‌ی K₂ (۴۰۰ °C)

شکل ۴-۱۴: تصاویر SEM نمونه‌ی K₄ (۶۰۰ °C)

شکل ۴-۱۵: تصاویر SEM نمونه‌ی K₅ (۷۰۰ °C)

شکل ۴-۱۶: تصاویر SEM نمونه‌ی K₆ (۸۰۰ °C)

شکل ۴-۱۷: طیف XRD مربوط به نمونه‌های S₁ (۱۲ ساعت)، S₂ (۱۸ ساعت) و S₃ (۴ ساعت)

شکل ۴-۱۸: طیف XRD نمونه‌های S₄ و S₅

شکل ۴-۱۹: تصویر SEM از مقطع عرضی نمونه S₅

- شکل ۱۳-۴ : تصاویر SEM نانوسيم های سنتز شده در نمونه S_5 ۶۷
- شکل ۱۴-۴ : نمای کلی مکانيزم رشد نانوسيمهای CuO ۶۸
- شکل ۱۵-۴ : طرحواره راكتور ساخته شده در دانشگاه صنعتی شاهروд ۷۰
- شکل ۱۶-۴ : الف) نمونه سنتز شده با جريان DC ب) نمونه سنتز شده با جريان AC ۷۳
- شکل ۱۷-۴ : طيف XRD نمونه سنتز شده با منبع جريان AC ۷۴
- شکل ۱۸-۴ : طيف XRD نمونه سنتز شده با منبع جريان DC ۷۴
- شکل ۱۹-۴ : طيف XRD نمونه های V_1 ، V_2 ، V_3 ۷۶
- شکل ۲۰-۴ : طيف XRD نمونه های D_1 ، D_2 ، D_3 ، D_4 ۷۸
- شکل ۲۱-۴ : تصاویر SEM نمونه های سنتز شده در فواصل مختلف الف) ب) ۷۸
- شکل ۲۲-۴ زنجيره مولکول های آب ۷۹
- شکل ۲۳-۴ : مکانيزم تشكيل نانو گل های اكسيد مس در مقايسه با گل های خاردار ۷۹
- شکل ۲۴-۴ : طيف XRD مربوط به نمونه N_1 : (A) قبل از شستشو ، (B) پس از شستشو ۸۱
- شکل ۲۵-۴ : طيف XRD مربوط به نمونه N_2 : (A) قبل از شستشو ، (B) پس از شستشو ۸۱
- شکل ۲۶-۴ : طيف XRD مربوط به نمونه های N_3 : (A) قبل از شستشو ، (B) پس از شستشو ۸۲
- شکل ۲۷-۴ : طيف XRD نمونه G_1 : اكسيد مس سنتز شده با الکترود به قطر ۲ ميلی متر ۸۳
- شکل ۲۸-۴ : طيف XRD نمونه G_2 : اكسيد مس سنتز شده با الکترود به قطر ۸ ميلی متر ۸۴
- شکل ۲۹-۴ : طيف XRD نمونه T_1 ۸۶
- شکل ۳۰-۴: طيف XRD نمونه T_2 الف) بدون بازپخت ب) بازپخت در دماي $400^{\circ}C$ ۸۷
- شکل ۳۱-۴: طيف XRD نمونه T_3 الف) بدون بازپخت ب) بازپخت در دماي $400^{\circ}C$ ۸۷
- شکل ۳۲-۴ : طيف XRD نمونه های سنتز شده در روش قوس الکتریکی ۸۹
- شکل ۳۳-۴: نتایج حاصل از آنالیز XRF نمونه T_3 قبل از بازپخت ۹۰

- شکل ۳۴-۴ : نتایج حاصل از آنالیز XRF نمونه T_3 پس از بازپخت ۹۱
- شکل ۳۵-۴ : نتایج حاصل از آنالیز XRF نمونه G_2 ۹۱
- شکل ۳۶-۴ : نمودار اندازه توزیع ذرات نانوساختارهای CuO ۹۲
- شکل ۱-۵ : انواع ساختارهای گزارش شده در مورد اکسید روی ۹۶
- شکل ۲-۵ : ساختار متقارن غیرمرکزی در اکسید روی و بروز خاصیت پیزوالکتریک ۹۷
- شکل ۳-۵: طیف XRD نمونه های D_{1z} ، D_{2z} و D_{3z} ۱۰۰
- شکل ۴-۵ : تصاویر SEM نانوگل های اکسید روی سنتز شده در فاصله ۷ میلی متر ۱۰۱
- شکل ۵-۵ : تصاویر SEM نانوذرات اکسید روی سنتز شده در فاصله ۵ میلی متر ۱۰۱
- شکل ۶-۵ : تصاویر SEM نانوذرات اکسید روی سنتز شده در فاصله ۳ میلی متر ۱۰۱
- شکل ۷-۵ : تصاویر SEM نانو میله های اکسید روی سنتز شده در فاصله ۱ میلی متر ۱۰۲
- شکل ۸-۵ : طیف XRD نمونه های ZnO در ولتاژهای مختلف ۱۰۴
- شکل ۹-۵ : طیف XRD مربوط به نمونه N_{1z} (A) قبل از شستشو ، (B) پس از شستشو ۱۰۵
- شکل ۱۰-۵ : طیف XRD مربوط به نمونه N_{2z} (A) قبل از شستشو ، (B) پس از شستشو ۱۰۶
- شکل ۱۱-۵ : تصاویر SEM نانومیله های اکسید روی نمونه N_{1z} ۱۰۶
- شکل ۱۲-۵ : تصاویر SEM نانو ذرات اکسید روی نمونه N_{2z} ۱۰۶
- شکل ۱۳-۵ : تصویر الکترودهای Zn قبل و بعد از تخلیه الکتریکی ۱۰۸
- شکل ۱۴-۵ : طیف پراش پرتو ایکس نمونه T_{1z} ۱۰۸
- شکل ۱۵-۵ : طیف پراش پرتو ایکس نمونه T_{2z} ۱۰۸
- شکل ۱۶-۵ : طیف XRD نمونه های A_{1z} و A_{2z} ۱۱۰
- شکل ۱۷-۵ نمودار مربوط به آنالیز عنصری XRF نمونه T_{1z} ۱۱۱
- شکل ۱۸-۵ : نمودار اندازه توزیع ذرات نانوساختارهای ZnO ۱۱۲

فهرست جداول

عنوان

صفحه

جدول ۱-۲ : مشخصات فیزیکی پلاسمای ناشی از انواع تخلیه الکتریکی [۱۷]	۳۷
جدول ۱-۳ : نانوساختارهای اکسید فلزی مورد بررسی در تحقیقات صورت گرفته به روش اکسیداسیون حرارتی	۴۸
جدول ۲-۳ : نانوساختارهای اکسید فلزی مورد بررسی در تحقیقات صورت گرفته به روش تخلیه الکتریکی	۵۱
جدول ۴-۱: کدشناسایی و مشخصات نمونه های سنتز شده به روش اکسیداسیون حرارتی در زمان ثابت	۵۸
جدول ۴-۲ : خلاصه ای از نتایج حاصل از سنتز CuO در دماهای متفاوت و آنالیز طیف XRD مربوط به آنها	۶۴
جدول ۴-۳: کدشناسایی و مشخصات نمونه های سنتز شده به روش اکسیداسیون حرارتی در دمای ثابت	۶۵
جدول ۴-۴ : خلاصه ای از نتایج حاصل از سنتز CuO در زمانهای متفاوت و آنالیز طیف XRD مربوط به آنها	۶۸
جدول ۵-۴ : کدشناسایی و مشخصات نمونه های سنتز شده در ولتاژهای متفاوت	۷۵
جدول ۶-۴ : خلاصه ای از نتایج حاصل از سنتز CuO در ولتاژهای متفاوت و آنالیز طیف XRD مربوط به آنها	۷۶
جدول ۷-۴ : کدشناسایی و مشخصات نمونه های سنتز شده در فواصل مختلف بین الکترودها	۷۷
جدول ۸-۴ : خلاصه ای از نتایج حاصل از سنتز CuO در فواصل مختلف و آنالیز طیف XRD مربوط به آنها	۸۰

جدول ۹-۴ : کدشناسایی و مشخصات نمونه های سنتز شده در محیط NaCl	۸۰
جدول ۱۰-۴ : خلاصه ای از نتایج حاصل از سنتز CuO در شرایط محیطی مختلف و آنالیز طیف XRD مربوط به آنها	۸۲
جدول ۱۱-۴ : کدشناسایی و مشخصات نمونه ها	۸۳
جدول ۱۲-۴ : خلاصه ای از نتایج حاصل از سنتز CuO با الکترودهایی با قطر متفاوت	۸۵
جدول ۱۳-۴ : کدشناسایی و مشخصات نمونه ها	۸۶
جدول ۱۴-۴ : خلاصه ای از نتایج حاصل از سنتز CuO	۸۸
جدول ۱۵-۴ : کدشناسایی و مشخصات نمونه های سنتز شده در روش قوس الکتریکی	۸۹
جدول ۱۶-۴ : خلاصه ای از نتایج حاصل از سنتز CuO در روش قوس الکتریکی	۹۰
جدول ۱۷-۴ : بررسی شرایط بهینه در میزان تولید نانوساختارهای اکسید مس	۹۳
جدول ۱-۵ : کدشناسایی و مشخصات نمونه های سنتز شده در فوائل مختلف بین الکترودها	۹۹
جدول ۲-۵ : خلاصه ای از نتایج حاصل از سنتز ZnO در فوائل مختلف و آنالیز طیف XRD مربوط به آنها	۱۰۲
جدول ۳-۵ : کدشناسایی و مشخصات نمونه های سنتز شده در ولتاژهای متفاوت	۱۰۳
جدول ۴-۵ : خلاصه ای از نتایج حاصل از سنتز ZnO در ولتاژهای مختلف و آنالیز طیف XRD مربوط به آنها	۱۰۴
جدول ۵-۵ : کدشناسایی و مشخصات نمونه های سنتز شده در محیط NaCl	۱۰۵
جدول ۶-۵ : خلاصه ای از نتایج حاصل از سنتز ZnO در شرایط محیطی مختلف و آنالیز طیف XRD	۱۰۷
جدول ۷-۵ : کدشناسایی و مشخصات نمونه ها	۱۰۷
جدول ۸-۵ : خلاصه ای از نتایج حاصل از سنتز ZnO	۱۰۹
جدول ۹-۵ : کدشناسایی و مشخصات نمونه های سنتز شده در روش قوس الکتریکی	۱۰۹

جدول ۱۰-۵ : خلاصه ای از نتایج حاصل از سنتز ZnO در روش قوس الکتریکی ۱۱۰

جدول ۱۱-۵ : بررسی شرایط بهینه در میزان تولید نانو ساختارهای اکسید روی ۱۱۲